

О.М. Пилипенко, к.т.н., доц.

Черкаський інженерно-технологічний інститут

ДИСЛОКАЦІЙНО-ЕНЕРГЕТИЧНИЙ СТАН ПОКРИТТІВ ПРИ УЛЬТРАЗВУКОВОМУ РІЗАННІ

Показана еволюція дислокаційної структури газотермічних покріттів. Встановлені властивості міцності покріттів, які можуть змінюватись при різній швидкості руху дислокацій. Механізми деформацій матеріалів покладені в основу кінетики дислокаційної структури.

Відновлення та зміцнення деталей машин методами газотермічного напилення зносостійких матеріалів є поширеною технологічною операцією сучасного машинобудування в Україні. Така технологія впроваджена і на багатьох ремонтних заводах та підприємствах. І хоча переваги газотермічного напилення (ГТП) перед електродуговою наплавкою є незаперечними, але високий рівень ушкоджуваності покріттів суттєво знижує їх ефективність. Залишкові внутрішні напруження $\sigma_{\text{ен}}$, що обумовлюються особливостями технології напилення при досягненні критичних значень, призводять до руйнації покріттів у вигляді розтріскування та часткового відшарування. Формування напруженого-деформованого стану (НДС) при охолодженні покріття визначає рівень $\sigma_{\text{ен}}$ і наступна механічна обробка, як правило, підвищує цей рівень дією температурно-силових факторів. Спроби максимально зменшити негативний вплив термосилових факторів при механічній обробці шляхом застосування інструментів з надтвердих матеріалів лише частково вирішують проблему. При цьому собівартість обробки значно збільшується [1, 2], у порівнянні з обробкою ГТП інструментом зі звичайних матеріалів.

На підставі вище викладеного, метою роботи є визначення характеру та особливостей зростання рівня дефектності ГТП при механічній обробці та розробка комбінованого методу різання, що стабілізує або знижує цей рівень.

1. ТЕОРЕТИЧНЕ ОБГРУНТУВАННЯ НАКОПИЧЕННЯ ДЕФЕКТІВ

В [3, 4, 5] розглядаються основні причини, що призводять до високого рівня НДС у ГТП. Так загальний рівень НДС має два стани формування: а) рівень мікронапружень в обсязі елементарної частинки; б) рівень макронапружень в обсязі всього покріття. Мікронапруження в окремих частинках формуються через зіступання матеріалу. При цьому низ частинки формується утруднено під дією зхвачування в локальних зонах з поверхнею основи, а верх – вільно. В [5] отримано формули для оцінки мікронапружень і деформації при охолодженні ГТП:

$$\sigma_{\text{ен}}^m = \frac{E_s}{1 - \nu} \left[C_0 (\alpha_s T_s - \alpha_0 T_0)^2 - \alpha_s T_s \right]; \quad (1)$$

$$\varepsilon = 2,28 \cdot \left(1 + \frac{h_s \cdot E_s}{h_0 \cdot E_0} \right)^{-2} \cdot \left(\frac{D_s}{d_s} \right)^6, \quad (2)$$

де E – модуль Юнга; ν – коефіцієнт Пуассона; α – коефіцієнт термічного розширення (КГР); h – товщина; D_s, d_s – діаметри напилюемої та розпллющеної частинок; C_0 – питома тепломісткість основи; T – температура.

Індекси s та 0 характеризують частинку і основу.

При охолодженні здеформованої частинки на матеріалі основи зусилля зіступання сприяють появі згидаючого моменту. При цьому виникають нормальні до площини контакту напруження σ_θ^N . Якщо вони перевищують міцність зчеплення частинки $\sigma_{\text{зч}}$, то спостерігається відрив її країв від основи. Паралельно, під дією згидаючого моменту, виникають дотичні до площини контакту напруження τ_θ^M , які прагнуть розірвати покріття і можуть релаксуватись мікротріщинами.

Загальні залишкові внутрішні макронапруження σ_θ^Σ , що формуються в обсязі всього покріття, складаються з таких елементів:

- кристалізаційні напруження. Формуються під впливом кристалізації всіх частинок і частково знижуються через фактор термоциклування (термовплив частинок і шарів покриття);
- температурні напруження, що формуються в обсязі всього покриття як суцільного матеріалу та при нашаруванні частинок багатопрохідного напилення;
- структурні напруження, що формуються під впливом зміни об'ємів і щільностей окремих фаз при перебудові кристалічних граток. Така перебудова має місце при здійсненні реакцій утворення оксидів, боридів, карбідів, нітридів, інтерметалідів тощо.

Враховуючи структурні особливості ГП та їх побудову, можна використовувати різні моделі для описання процесів дефектоутворення в покриттях під впливом пластичної деформації. При цьому величина σ_e^Σ може визначатись за формулою:

$$\sigma_e^\Sigma = E_p (\varepsilon_t + \varepsilon_k - \varepsilon_p) / (1 - \nu), \quad (3)$$

де E_p – рівновісний модуль пружності; ε_t – коефіцієнт термічного зіступання, що характеризує відношення коефіцієнтів лінійних розширень покриття і основи; ε_k – коефіцієнт зіступання під впливом кристалізації; ε_p – коефіцієнт часткової рекристалізації.

2. МЕХАНІЗМИ РУЙНУВАННЯ ГП ПРИ ДЕФОРМАЦІЇ

Пластична деформація при формоутворенні та механічній обробці ГП здійснюється за механізмом зіступання та під дією сил різання. Згідно з класифікацією дефектів у ГП [6], вони підрозділяються на макротріщини формування покриттів (у вигляді пор), та мікротріщини, які утворюються (зароджуються) при пластичній деформації. Розглядаючи механізм зародження мікротріщин як процес встановлення термомеханічної рівної, коли релаксація σ_e^Σ шляхом пластичної деформації є неможливою, найбільш імовірною може бути дислокаційна модель утворення мікротріщин у гетерогеній структурі ГП.

Тому що дислокаційна тріщина є різновидом ядра дислокацій з великим вектором Бюргерса, вона може утворюватись у покрітті біля структурних бар'єрів і перешкод. Такими бар'єрами є крихкі частинки інородних включень та частинки, що встигли охолонути і кристалізуватись ще у повітрі. Також у цьому випадку межа зародження мікротріщини може бути пов'язана з розтріскуванням крихкої фази як результат її перерізу дислокаційним накопиченням. Нарешті, можливий варіант зародження мікротріщини безпосередньо в крихкій частинці з наступним її поширенням у матрицю.

В залежності від того, який характер росту тріщини має місце у ГП (мікроскопічний чи макроскопічний), може бути 3 види руйнування: руйнування сколом, руйнування зрізом, руйнування за границями зерен. Перші два види – транскристалічні, а третій – міжкристалічний. Превуалюючим для ГП, безумовно, є руйнування за границями зерен – міжзерновий скол для ГП на основі оксидів та карбідів тугоплавких елементів (Al_2O_3 , TiO_2 , Cr_2O_3 , WC, TiC , $TiNC$) і міжзерновий ямочний відрив для самофлюючих ГП на основі системи $Ni-Cr-B-Si-C$.

В рамках моделі Зінера–Стро–Петча розглянемо початковий етап зародження мікротріщини у структурі бар'єра (рис. 1).



Рис. 1. Схема зародження мікротріщини

Для цього необхідно накопичення біля границі частинки n дислокацій. Приблизно можна встановити, що

$$n \approx \frac{\sigma_{\text{teor}}}{\sigma_{\text{нз}}}, \quad (4)$$

де σ_{teor} , $\sigma_{\text{нз}}$ – теоретична міцність і межа плинності матеріалу покриття.

Діючі дотичні напруження при досягненні певної величини можуть привести до зародження мікротріщини у голові накопичених дислокацій. Величину напружень визначимо так:

$$\tau = \sqrt{\pi \cdot \sigma \cdot \gamma_1 / [2 \cdot (1 - v) \cdot L]}, \quad (5)$$

де γ_1 – робота утворення одиниці вільної поверхні мікротріщини; L – довжина лінії сковзання; σ – модуль зсуву матеріалу покриття.

В покритті необхідне для утворення мікротріщини напруження τ буде залежати від фракційності порошкового матеріалу, тобто розмір частинки визначатиме довжину L накопичення дислокацій. Деякий час зародок мікротріщини може бути механічно стабільним. Локальна пружня енергія одиниці об'єму біля дислокації пропорційна квадрату вектора Бюргерса [7], і якщо вектор Бюргерса збільшиться за кількістю дислокацій в n разів, то пружня енергія збільшиться в n^2 разів. Складається ситуація, коли зародження мікротріщини є єдино можливим варіантом для зменшення локальної енергії, так як сковзання та двійкування неможливі. Характер зародження може здійснюватись як за згаданою вище моделлю Зінера–Стро–Петча, так і за моделям Коттрела або Владимирова–Хананкова (термофлуктаційна модель) [7]. Початкова стадія руйнування пов'язана з взаємодією одноіменних дислокацій у загальмованих накопиченнях. Розкриття мікротріщини в ядрі дислокацій залежить від тиску розщеплення ядра дислокації, що визначається станом матеріалу покриття: у квазікрихких самофлюсуючих ГПХ характерним є уширення дислокацій в площині сковзання. А у крихких керамічних ГПХ розколювання ядра дислокацій здійснюється перпендикулярно площині сковзання.

На рис. 2 представлена схема ядра авангардної дислокації як субмікротріщини у квазікрихкому матеріалі покриття. Утворення субмікротріщини (10^{-1} мкм) є результатом втрати стійкості рівноваги авангардної частини дислокаційного накопичення. Ядра таких дислокацій в даній ситуації є звичайними ядрами гратачних дислокацій, але їх побудова характеризується клиновидними порожнинами з взаємодіючими берегами. Описання таких ядер може здійснюватись розподіленнями нескінченно малих розколюючих дислокацій з щільністю $Q_i(y)$, де y є ординатою (висотою) порожнини. Згідно з даними [8], лінеаризуємо нелінійний закон міжплощинної взаємодії $q_a = q_a(u_a)$ (рис. 3), де q_a – віднесена до одиниці площини сила взаємодії різних атомних площин S_1 і S_2 по обидва боки від площини розколювання дислокації; U_a – збільшення відстані між атомними площинами, у порівнянні зі станом стійкої рівноваги.

В результаті лінеарізації замінимо наближеною залежністю (пунктирна лінія) нелінійний закон (суцільна лінія). Точка перелому A характеризує максимальну силу взаємодії реальних атомних площин S_1 і S_2 на відстані $a + u_m$, де a – міжатомна відстань. У цьому випадку ділянка між S_1 і S_2 вважається заповненою пружним середовищем на ділянці $y \leq -h$, де $u_a \leq u_m$. Що стосується ділянки $u_a > u_m$, то в цій області континуума матиме місце розріз (субмікротріщина), береги якого стягуються зусиллям $q_a(u_a)$ на відстані $-h \leq y \leq 0$. Пропонується наблизено представити функцію $q_a(u_a)$ у параметричному вигляді таким лінійним співвідношенням:

$$q_a(u_a) = q_0 + (q_m - q_0) \cdot y / h, \quad (6)$$

де q_0 – додаткова силова характеристика ядра дислокації, що встановлюється в залежності від рівня енергії дислокації.

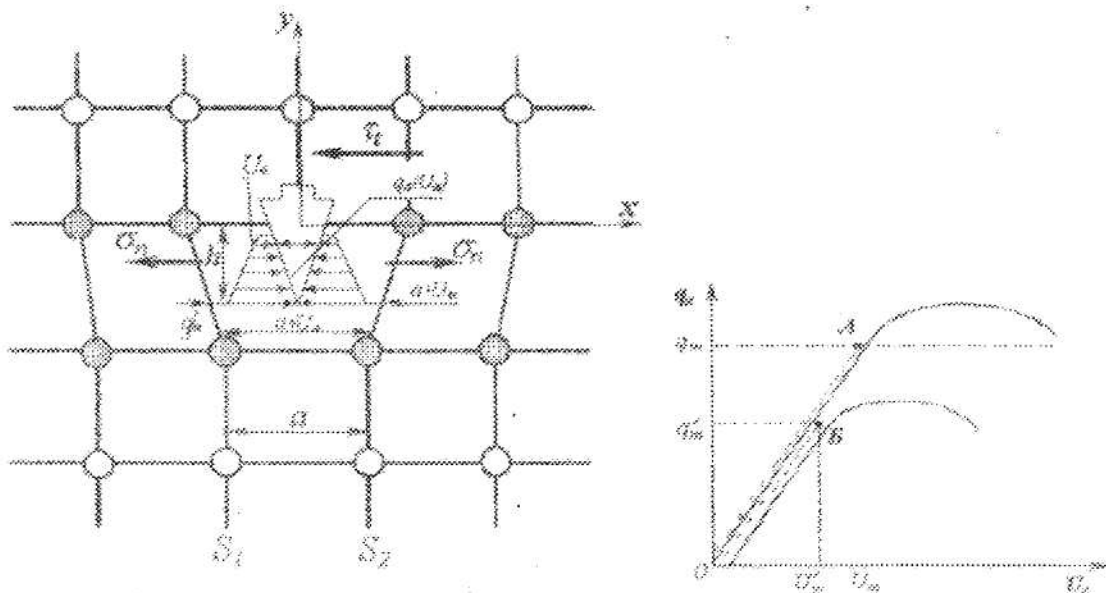


Рис. 2. Схема утворення субмікротріщини:

○ – звичайне розташування атомів;
● – уширені атоми у площині ковзання

Рис. 3. Графік зміни сил зчеплення між

суміжними площинами кристалічної гратки

3. ЗНИЖЕННЯ УШКОДЖУВАНОСТІ ГПП

Рівень внутрішніх залишкових макронапружень $\sigma_{\text{g}}^{\Sigma}$ безпосередньо формує нормальне напруження розтягу σ_n (рис. 2). При цьому еволюція дислокаційної структури залежить від умов формування ГПП (зіступання) і від термосилового режиму механічної обробки. Останній процес інтенсифікує пластичну деформацію та сприяє підвищенню $\sigma_{\text{g}}^{\Sigma}$. Рівень ушкоджуваності підвищується. Якщо використовувати комбінований метод обробки, накладаючи на процес різання ультразвукові коливання, то відбуваються позитивні зміни не тільки у напруженому стані ГПП, а й у дислокаційній структурі. Ультразвукові коливання елементів технологічної системи при різанні здійснюють вплив, що є аналогічним до термообробки [5, 6], на матеріал покриття, тільки з більшою ефективністю завдяки концентрованому поглинанню акустичної енергії дефектами структури ГПП. Пластичність матеріалу при цьому підвищується, а напруженість – зменшується. Це пояснюється дислокаційним поглинанням енергії ультразвукових коливань. Загальовані біля локальних перешкод та бар'єрів дислокації активізуються і починають рухатись. У звичайних умовах статичного різання можуть рухатись тільки вільні незагальовані дислокації, що потребують для своєї активізації удвічі або утрічі менше енергії, ніж загальовані. Активування загальованіх дислокацій є зворотньою і відбувається до моменту, коли є приток акустичної енергії. Таким чином, процес поглинання дислокаціями УЗ-коливань активізує їх рух через структурні перешкоди, а з іншого боку – сприяє їх накопиченню біля міцних перешкод (границя частинки), що інтенсифікує зростання макротріщин. Така небезпека є суто теоретичною, бо, згідно з теорією дислокацій, найбільш імовірним при однаковій витраченій енергії вважається той процес, який здійснюється за найкоротший проміжок часу. Тому енергія УЗ-коливань витрачається в основному на активування затриманих дислокацій. Щільність дислокацій ρ зменшується від $10^6 \div 10^8 \text{ см}^{-2}$ при звичайному різанні до $10^{11} \div 10^{12} \text{ см}^{-2}$ при комбінованому методі різання з УЗ-коливаннями [6].

Другий позитивний аспект застосування ультразвуку при різанні – це змінення ядра авангардної дислокації у накопиченні за рахунок зменшення сили q_0 (рис. 2, 3). В порівнянні зі статичним різанням, критичне значення сили взаємодії різних атомних площин q_m зменшується до значення q_m' при комбінованому методі різання, що відповідає меншій деформації кристалічної гратки U_m . При достатньому рівні УЗ-енергії субмікротріщини можуть з'єднуватись (заліковуватись) і рівень ушкодженості ГПП буде знижуватись.

Експериментальна перевірка методами рентгеноструктурного та електрономікроскопічного аналізу повністю підтвердила ці припущення.

ВИСНОВКИ

Ланцюг технологічних операцій формоутворення, механічної обробки ГП, та експлуатація відновлених деталей характеризуються зміною НДС. Тому після формоутворення та механічної обробки ГП необхідно контролювати НДС та вносити корекцію технологічних умов проведення конкретних операцій.

Високий рівень дефектності структури ГП призводить до ймовірності утворення макро- та мікротріщин. Дислокації, як носії пластичної деформації при зіступанні та стружкоутворенні, є передумовою (при достатній їх щільності) створення таких тріщин.

Ефективним методом механічної обробки ГП є використання УЗ-коливань при різанні. Така комбінована обробка призводить не тільки до зниження термосилових параметрів процесу, але й знижує рівень ушкоджуваності ГП шляхом активації дислокацій та "заліковування" субмікротріщин.

Вибір амплітудно-частотної характеристики УЗ-коливань при вібраційному різанні ГП здійснюється в залежності від характеру реологічної моделі. Контроль НДС можна проводити методом рентгеноструктурного аналізу після кожної технологічної операції з відповідною корекцією режимних факторів.

ЛІТЕРАТУРА:

1. Рыжов Э.В., Клименко С.А., Гуцаленко О.Г. Технологическое обеспечение качества деталей с покрытиями. – К.: Наук. думка. – 1994. – 180 с.
2. Клименко С.А., Муковоз Ю.А., Полонский Л.Г., Мельничук П.П. Точение износостойких защитных покрытий. – К.: Техника. – 1997. – 143 с.
3. Кречмар Э. Напыление металлов, керамики и пластмасс: Пер. с нем. – М.: Машиностроение. – 1966. – 432 с.
4. Хасуй А. Техника напыления: Пер. с японского. – М.: Машиностроение. – 1975. – 288 с.
5. Петров С.В., Карп И.Н. Ионное газовоздушное напыление. – К.: Наук. думка. – 1993. – 495 с.
6. Пилипенко О.М. Вплив ультразвукового різання на рівень ушкоджуваності покрівель. Сб. наук. пр. ОТТОМ. – Харків: ННЦХФТИ. – 2000. – С. 279–282.
7. Иванова В.С. Разрушение металлов. – М.: Металлургия. – 1979. – С. 167.
8. Панасюк В.В. Механика квазихрупкого разрушения металлов. – К.: Наук. думка. – 1991. – 415 с.

ПИЛИПЕНКО Олександр Михайлович – кандидат технічних наук, доцент кафедри комп'ютеризованих технологій машинобудування Черкаського інженерно-технологічного інституту.

Наукові інтереси:

- механічна обробка газотермічних покрівель;
- абразивна обробка матеріалів.

Подано 10.05.2001